

## Ejemplo:

1) Gráfica -  $z = u(x, y)$  parametrizamos como:

$$f(x, y) = (x, y, u(x, y)).$$

$$\text{De } f_x = (1, 0, u_x), f_y = (0, 1, u_y), \text{ tenemos}$$

$$ds^2 = g = f^* I = (1+u_x^2) dx^2 + 2u_x u_y dx dy + (1+u_y^2) dy^2$$

$$\text{De } n(x, y) = \frac{f_x \times f_y}{\|f_x \times f_y\|} = \frac{(-u_x, -u_y, 1)}{\sqrt{1+u_x^2+u_y^2}}, \text{ tenemos } (h_{ij} = n \cdot f_{ij})$$

$$h = f^* II = \frac{1}{\sqrt{1+u_x^2+u_y^2}} (u_{xx} dx^2 + 2u_{xy} dx dy + u_{yy} dy^2)$$

Para determinar expresiones para la curvatura, consideramos el operador de formas en coordenadas.

Un vector  $v \in T_{(x,y)} \mathbb{R}^2 \cong \mathbb{R}^2$  enviamos a  $w \in T_{(x,y)} \mathbb{R}^2 \cong \mathbb{R}^2$  t.q.

$$d_{(x,y)} f(w) = d_{(x,y)} n(v)$$

$$\begin{array}{ccc} T\Sigma & \xrightarrow{dv} & T\Sigma \\ df \uparrow & & \downarrow (df)^{-1} \\ \mathbb{R}^2 & \dashrightarrow & \mathbb{R}^2 \\ v \longmapsto w \end{array}$$

En particular, para cada  $\xi \in \mathbb{R}^2$  tenemos

$$d_{(x,y)} \eta_{(x,y)} (w, \xi) = df(w) \cdot df(\xi) = dn(v) \cdot df(\xi) = -h_{(x,y)}(v, \xi).$$

ENTONCES  $g_w \cdot \xi \stackrel{(*)}{=} -h_v \cdot \xi$  donde  $g = \begin{pmatrix} g_{11} & g_{12} \\ g_{21} & g_{22} \end{pmatrix}$ ,  $h = \begin{pmatrix} h_{11} & h_{12} \\ h_{21} & h_{22} \end{pmatrix}$

Son las representaciones matriciales en coordenadas de  $I, II$ .

Debido a que  $(*)$  queda  $\forall \xi \in \mathbb{R}^2$ , tenemos

$$w = -g^{-1} h v$$

y la representación en coordenadas de la operador de formas es por la matriz  $-g^{-1} h: \mathbb{R}^2 \rightarrow \mathbb{R}^2$ .

AHORA, CALCULAMOS LA CURVATURA GAUSSIANA Y MEDIO DE LA GRÁFICA POR TOMANDO  $\det g$  tr de la operador de formas con

$$g = \begin{pmatrix} 1+u_x^2 & u_x u_y \\ u_x u_y & 1+u_y^2 \end{pmatrix} \quad h = \frac{1}{\sqrt{1+u_x^2+u_y^2}} \begin{pmatrix} u_{xx} & u_{xy} \\ u_{xy} & u_{yy} \end{pmatrix}$$

que conduce a:

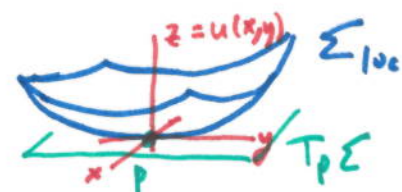
(2)

$$K(x,y) = \frac{u_{xx}u_{yy} - u_{xy}}{(1+u_x^2+u_y^2)^2}, H(x,y) = \frac{u_{xx}(1+u_y^2) - 2u_{xy}u_xu_y + u_{yy}(1+u_x^2)}{2(1+u_x^2+u_y^2)^{3/2}}$$

\* Dado un aplicador  $\mathbb{R}^2 \rightarrow \mathbb{R}$ , un soporte de  $(*)$  resulta en una gráfica con tal curvatura gaussiana prescrita. Este EDP es un ejemplo de un EDP tipo MONGE-AMPERE.

\* Como cada superficie es localmente una gráfica, obtenemos una forma normal local por basando nuestro sistema de coordenadas por  $p \in \Sigma$  en el plano  $x,y$  teniendo  $T_p\Sigma$  y ejes  $x,y$  siendo los ejes principales. En tal sistema de coordenadas,  $u_x(p) = u_y(p) = 0$ , y  $\Sigma$  está dada por

$$(x,y) \mapsto (x, y, \frac{K_1(p)}{2}x^2 + \frac{K_2(p)}{2}y^2) + O_3(x,y).$$



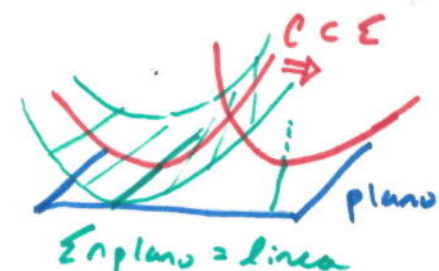
2) SUPERFICIES DESARROLLABLES - llamamos  $\Sigma \subset \mathbb{R}^3$  desarrollable cuando uno de los siguientes condiciones equivalentes son satisfechas:

(i) la curvatura gaussiana de  $\Sigma$  es cero;  $K=0$

(ii)  $\Sigma$  es la envolvente de una familia de planos que depende por uno parámetro

(iii)  $\Sigma$  es 'aplicable' a un plano.

\* entendemos (iii) como existe una curva  $C \subset \Sigma$  t.g. en rotando  $\Sigma$  sobre un plano a lo largo de  $C$ , el plano tangente intersecta el plano  $\Sigma$  por una linea.



\* PARA (ii), la envolvente de una familia de planos es algo tangente a los planos en cada punto. Por ejemplo, cada superficie es la envolvente de sus planos tangentes.

El espacio de planos en  $\mathbb{R}^3$  es 3-dimensional, ya que un plano está dado por  $(A,B,C,D) \in \mathbb{R}^4 \setminus 0$  determinando  $\pi = \{Ax+By+Cz+D=0\} \subset \mathbb{R}^3$  que es equivalente al  $\lambda(A,B,C,D)$  para  $\lambda \in \mathbb{R} \setminus 0$ .

Los planos con  $D \neq 0$  por ejemplo son parametrizados por las tres coordenadas:  $a = \frac{A}{D}, b = \frac{B}{D}, c = \frac{C}{D}$ .

• Delineamos algunos INSTRUCCIONES / CORRESPONDENCIAS  
de la geometría proyectiva.

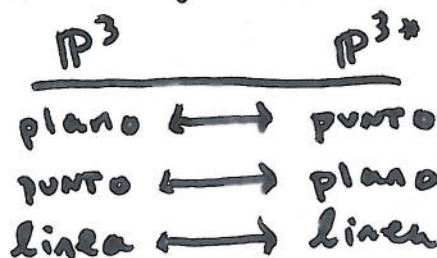
- DENOTAMOS  $\mathbb{P}^3^* := \{\vec{A} \in \mathbb{R}^4 \setminus 0\} / \{\vec{A} \sim \lambda \vec{A}, \lambda \in \mathbb{R} \setminus 0\}$ ,

lo que pensamos como el 'CONJUNTO DE PLANOS EN ESPACIO'.

ESCRIBIMOS  $(A:B:C:D) \in \mathbb{P}^3^*$  para la clase de equivalencia  
de  $(A,B,C,D) \in \mathbb{R}^4 \setminus 0$  ( $\text{la linea } \{\lambda(A,B,C,D) : \lambda \in \mathbb{R}\} \subset \mathbb{R}^4$ ).

- PARA SIMETRIZAR la relación de incidencia:  $Ax+By+Cz+D=0$   
( $(x,y,z)$  en el plano  $(A:B:C:D)$ ), ó bien el plano  $(A:B:C:D)$  CONTIENE  
el punto  $(x,y,z)$ ), PONEMOS  $x = \frac{X}{W}, y = \frac{Y}{W}, z = \frac{Z}{W}$  donde  
 $(X:Y:Z:W) \in \mathbb{P}^3 := \{\vec{X} = (X,Y,Z,W) \in \mathbb{R}^4 \setminus 0\} / \{\vec{X} \sim \lambda \vec{X}, \lambda \in \mathbb{R} \setminus 0\}$ .

- LA IGUALDAD DE POSICIÓN DE PUNTOS Y PLANOS  
EN LA RELACIÓN DE INCIDENCIA  $(X:Y:Z:W) \in (A:B:C:D) \Leftrightarrow AX+BY+CZ+DW=0$   
CONDUCE A LAS SIGUIENTES CORRESPONDENCIAS DE DUALIDAD PROYECTIVA:



EN ESTE LENGUAJE, EL PROCESO DE  
TOMAR ENVOLVENTES A UNA FAMILIA DE  
PLANOS ES DUAL A LA ASIGNACIÓN:

$$\sum C \in \mathbb{P}^3 \rightarrow \sum^* C \in \mathbb{P}^{3*}, P \mapsto T_P \sum$$

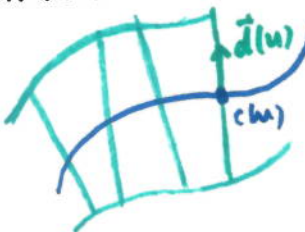
DONDE  $\sum^*$  CONSISTE DE LOS PLANOS TANGENTES  
A  $\sum$  (ENTONCES  $\sum$  ES LA ENV. DE  $\sum^*$ ).

Es decir, la envolvente de una dos PARÁMETROS FAMILIA DE PLANOS  
(UNA SUPERFICIE  $\sum^* \subset \mathbb{P}^{3*}$ ) SON LOS PUNTOS EN  $\mathbb{P}^3$  QUE CORRESPONDEN  
A LOS PLANOS TANGENTES DE  $\sum^*$ .

- 'típicamente' los planos tangentes a un superficie  $\sum \subset \mathbb{P}^3$  SERÁ  
UNA SUPERFICIE  $\sum^* \subset \mathbb{P}^{3*}$ . LAS SUPERFICIES DESARROLLABLES SON EXACTAMENTE  
LOS PARA QUE  $\sum^*$  ES UNA CURVA (SE QUITAN UN PUNTO). POR EJEMPLO,  
UNA GRÁFICA,  $\sum = \{z = u(x,y)\}$  TIENE DUAL  $\sum^*$  PARAMETRIZADO POR  
 $(x,y) \mapsto (u_x:u_y:-1:u-xu_x-yu_y)$  Y SE PUEDE EXPRESAR LA  
CONDICIÓN QUE  $\sum^*$  NO ES UNA SUPERFICIE POR EL RANGO DE LA  
JACOBIANO  $(x,y) \mapsto (u_x, u_y, u-xu_x-yu_y) \in \mathbb{R}^3$  SEA MENOR O IGUAL A 1,  
es decir cuando:  $u_{xy}u_{yy} - u_{xy}^2 = (u_{xy})^2$ .

\* MOTIVACIÓN PARA ESTUDIAR SUPERFICIES DESARROLLABLES VIENE DE APLICACIONES EN LA INDUSTRIA: SON FÁCIL DE DOBLAR DE UN PLANO (POR EJEMPLO UN PLANO DE METAL).

\* SUP. DFS. SON UN CASO PARTICULAR DE SUPERFICIES REGLADAS: LOS PUNTOS QUE EN CADA PUNTO  $\vec{c}(u)$  PARA (AL MENOS) UNA LÍNEA CONTENIDA EN  $\Sigma$ . UNA SUPERFICIE REGULADA, SE PARAMETRIZA EN GENERAL POR:



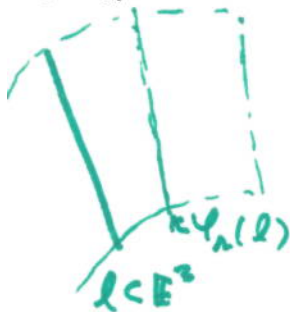
$$(u, v) \mapsto c(u) + v \vec{d}(u)$$



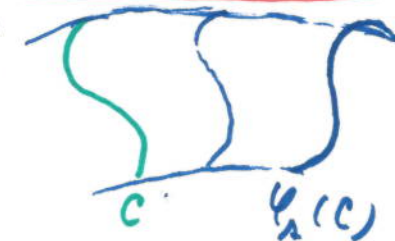
hyperboloides de una hoja  
SON REGULADAS,  
PERO NO  
DESARROLLABLES.

EJEMPLOS PRINCIPALES SON CUANDO LA DIRECCIÓN  $\vec{d}(u) = \text{const} \vec{d}$ ; CUANDO  $\vec{d}(u) = \frac{dc}{du}(u)$  ES TANGENTE A LA CURVA  $c(u)$ ; PARA  $c(u) \in \Sigma$  CUANDO  $\vec{d}(u) = v(c(u))$  ES NORMAL A LA SUPERFICIE. EN ESTE ÚLTIMO EJEMPLO UNO PUEDE VERIFICAR QUE  $(a \circ u) c(u) \in \Sigma$  ES UNA LÍNEA DE CURVATURA EXACTAMENTE CUANDO  $c(u) + v(c(u))$  ES DESARROLLABLE.

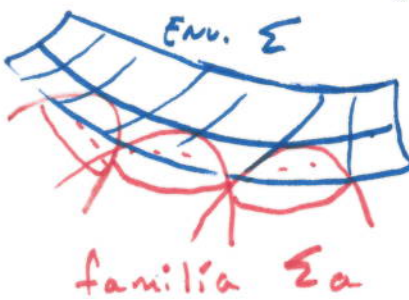
\* UNA SUP. REGULADA TAMBIÉN SE PUEDE DEFINIR COMO LA 'SUPERFICIE BARRIDA' POR MOVRIENDO UNA LÍNEA POR UNA FAMILIA DE ISOMETRÍAS DEL ESPACIO DEPENDIENTE DE UN PARÁMETRO  $(t, u) \mapsto \Psi_t(c(u))$ .



SON UN CASO PARTICULAR DE SUPERFICIES DE DARBOUX, FORMADAS POR LA SUPERFICIE BARRIDA POR MOVRIENDO UNA CURVA GENERAL PAJO UNA 1-PARM. FAMILIA DE ISOMETRÍAS  $(t, u) \mapsto \Psi_t(c(u))$ .



\* PODEMOS TOMAR ENVOLVENTES DE ALGUNAS FAMILIAS GENERALES. POR EJEMPLO, LA ENVOLVENTE DE UNA 1-PARÁMETRO FAMILIA DE SUPERFICIES  $\Sigma_a \subset E^3$  CON AT.R EL PARÁMETRO SEA UNA SUPERFICIE  $\Sigma$  LO QUE DA (i) TANGENTA A CADA SUPERFICIE DE LA FAMILIA EN SUS PUNTOS DE INTERSECCIÓN, O EQUIVOCADAMENTE (ii) LA UNIÓN DE LAS CURVAS (CURVAS CARACTERÍSTICAS) EN QUÉ MIEMBROS DE LA FAMILIA INTERSECTAN:  $C(a) = \Sigma_a \cap \Sigma_{a+\epsilon}$  Y  $C(a) = \lim_{\epsilon \rightarrow 0} C_\epsilon(a)$  Y  $\Sigma = \cup C(a)$ .



ANALITICAMENTE, SI  $\Sigma_a$  SON PADOS IMPLÍCITAMENTE POR  $\Sigma_a = \{f(x, y, z, a) = 0\}$ , SE OBTENGAN LA ENV.  $\Sigma$  POR ELIMINACIÓN DE  $a$  EN LAS ECUACIONES:

$$f(x, y, z, a) = 0 \quad \partial_a f(x, y, z, a) = 0 .$$

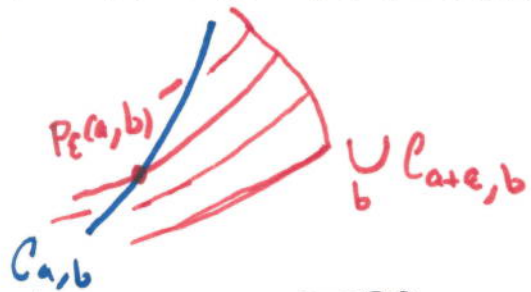
TAMBIÉN LA ENVOLVENTE DE UNA 2-PARAM. FAMILIA DE CURVAS

$C_{a,b} \subset E^3$  es en general una superficie  $\Sigma \subset E^3$  determinada por cualquiera de las condiciones equivalentes

(i)  $\Sigma$  es tangente a cada curva de la familia por su punto de intersección.

(ii)  $\Sigma$  es el lugar geométrico por intersección

de curvas de la familia. Más precisamente,  $C_{a,b}$  y la superficie  $\bigcup_b C_{a+b}$  en general intersectan por un punto  $p(a,b)$ , y  $\Sigma = \bigcup_{a,b} p(a,b)$  donde  $p(a,b) = \lim_{\epsilon \rightarrow 0} p_\epsilon(a,b)$ .



ANALITICAMENTE, si la familia de curvas está dada en forma parametrizada  $t \mapsto c(t, a, b)$  su envolvente se obtiene

por eliminación de  $t$  en  $0 = \det \begin{bmatrix} \partial_t c & \partial_a c & \partial_b c \end{bmatrix} = \Delta(t, a, b)$

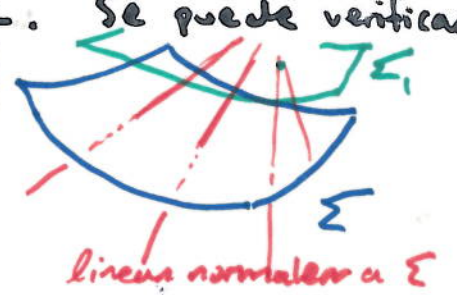
(en decir determina  $t(a, b)$  y parametriza  $\Sigma$  por  $(a, b) \mapsto c(t(a, b), a, b)$ )

UN ejemplo son las superficies focales de una  $\Sigma \subset E^3$  que son las envolventes de las líneas normales a  $\Sigma$ . Se puede verificar que son dadas por  $\Sigma_j = \left\{ p + \frac{1}{K_j(p)} v(p) : p \in \Sigma \right\}$  donde  $K_j$  son las curvaturas principales.

SON RELEVANTES EN LA ÓPTICA, EN QUE SI

$\Sigma$  es un fuente de luz,  $\Sigma_j$  representan

las cuásicas producidas por  $\Sigma$  —donde sea más intenso la luz emitida por  $\Sigma$ .



3) SUPERFICIES MÍNIMAS — llamamos a las superficies satisfaciendo una de las siguientes condiciones equivalentes:

(i) la curvatura media es constante;  $H = 0$

(ii) la superficie es una extremal local de la funcional de área.

\* LA TERMINOLOGÍA "MINIMAL" ES TÍPICA DE LA LENGUAJE "OPTIMISTICO" que uno encuentra en el CÁLCULO VARIACIONAL. Podría ser un poco engañosa en el sentido que —según MÉTRICA PFF— NO NECESSARIAMENTE MINIMIZAN ÁREA, MÁS BIEN SON PUNTOS CRÍTICOS (EXTREMOS) DEL ÁREA (LO QUE ES NECESARIO PARA MINIMIZAR).

CARACTERIZACIÓN (ii) entendemos en la siguiente manera; para cada  $p \in \Sigma$  existe un radio  $r$  tal que



t.g. para cualquier variación con FRONTERA FIJADA,  $U_\varepsilon$ ,  
 de  $U$  tenemos  $\frac{d}{d\varepsilon} \Big|_0 \text{Area}(U_\varepsilon) = 0$  (la variación  $U_\varepsilon$  es una  
 familia de l-param. de superficies,  $\varepsilon \mapsto U_\varepsilon$ , con  $U_0 = U$  y  $\partial U_\varepsilon = \partial U$ ). (6)

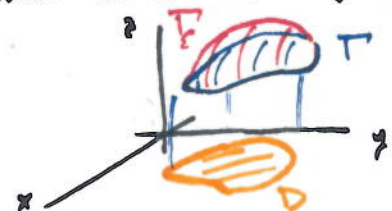
- APROXIMAR LA ENVOLVENTE (i)  $\Leftrightarrow$  (iii) LA SUFICIENTE CONSIDERAR EL CASO DE UNA GRÁFICA (CONDICIONES (i), (ii) SON LOCAL, Y CADA SUP. ES LOCALMENTE UNA GRÁF.)

Sea  $z = u(x, y)$ ;  $(x, y) \in D \subset \mathbb{R}^2$  (UNA REGIÓN COMPACTA); MÉTRICA GRÁFICA,  $T$ .

ENTONCES  $\text{Area}(T) = \int_D \sqrt{1 + |\nabla u|^2} dx dy$  (el elemento de AREA EN UN PARCHE CONVENCIONAL general es  $dA = |\partial_u f \times \partial_v f| du dv$ )

UNA VARIACIÓN POR GRÁFICAS,  $T_\varepsilon$ , DADO POR  $z = u(x, y) + \varepsilon \eta(x, y)$   
 UNA  $\eta|_{\partial D} \equiv 0$  TIENE (POR DIFERENCIABILIDAD BAJO EL INTEGRAL)

$$\frac{d}{d\varepsilon} \Big|_0 \text{Area}(T_\varepsilon) = \int_D \frac{\nabla u \cdot \nabla \eta}{\sqrt{1 + |\nabla u|^2}} dx dy$$



Para  $X := \frac{\nabla u}{\sqrt{1 + |\nabla u|^2}}$ . De  $\text{div}(qX) = X \cdot \nabla q + q \text{div}(X)$  y la  
 TEOREMA PLANO DE DIVERGENCIA:  $\int_D \text{div}(qX) = \int_D q X \cdot \hat{n} d\sigma = 0$  ( $q \equiv 0$  sobre  $\partial D$ )

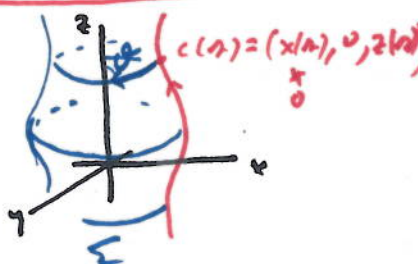
TEOREMA  $\frac{d}{d\varepsilon} \Big|_0 \text{Area}(T_\varepsilon) \stackrel{(*)}{=} - \int_D \eta \text{div}(X) dx dy$ . ANTRA CONDICIÓN (ii) dice

LA EXPRESIÓN (\*) ES CORRECTA CUANDO  $\eta: D \rightarrow \mathbb{R}$  UNA  $\eta|_{\partial D} \equiv 0$ , QUE ES  
 POSIBLE SOLO CUANDO  $\text{div}(X) = 0$ . UNA COMPUTACIÓN CONCRETA  
 $\text{div}(X) = H(x, y)$  (LA CURVATURA MEDIO DE LA GRÁFICA  $z = u(x, y)$ )  
 SIGUIÓ LA FÓRMULA DERIVADA EN EJEMPLO (1).

- CONSIDERAMOS EJEMPLOS EN EL CLASE DE SUPERFICIES DE REVOLUCIÓN  
 PARA M. P.R.  $(\lambda, \theta) \mapsto (x(\lambda) \cos \theta, x(\lambda) \sin \theta, z(\lambda))$

DONDE TOMAMOS  $\lambda \mapsto (x(\lambda), 0, z(\lambda))$  UN P.R. P.R.  
 LONG. DE ARCO DE LA LATITUD GENERALIZADA.

CALCULAMOS:



$$g = dx^2 + x(\alpha)^2 d\theta^2 ; \quad h = (x'z'' - x''z') dx^2 + xz' d\theta^2 \quad (7)$$

$$\Rightarrow K = -\frac{x''}{x} ; \quad 2H = x'z'' - x''z' + \frac{z'}{x} .$$

Reescribimos la condición  $H=0$  como  $xz'(x'z'' - x''z') + (z')^2 = 0$ . Usando  $(x')^2 + (z')^2 = 1$  (param. par. long.) y  $x'x'' + z'z'' = 0$ , obtenemos:

$$1 = xx'' + (x')^2 = (xx')^2 \Rightarrow x^2 = \alpha^2 + a^2 \text{ según est. 2.}$$

Integrando  $(z')^2 = 1 - (x')^2 = \frac{a^2}{x^2 + a^2}$  con la sustitución  $a = \operatorname{asinh} u$ , obtenemos:

$$x = a \cosh\left(\frac{z-b}{a}\right) \quad \text{algún est. } b \quad (\text{que se puede tomar clara porque solo trascala la superficie})$$

LA CURVA PLANAR (\*) es la curva CATENARY, lo que es la forma en que cuelga una cadena bajo gravedad uniforme. (fijando)  CATEGINARY  $\downarrow$  gravedad. EN UN CURVO FÍSICO, SE MUESTRA QUE LA CATENARY ESTA

CHARACTERIZADA (DEFINIDA) POR UN PRINCIPIO VARIACIONAL: EN UN EXTREMAL DE  $y \mapsto \int y \sqrt{1+(y')^2} dx$ , lo que es la misma que el FUNCIONAL DE AREA DE LA SUP. DE REV. POR RODEOANDO  $(x, y(x))$ . Llamaremos ESTA SUP. DE REV. MINIMAL (u CATENOID).

\* OBSERVA QUE TAMBIÉN  $z' = 0$  CONDUCE AL PLANO COMO UN SUP. MINIMAL (QUE CORRESPONDE A LA CONSTANTE  $a = 0$  ARRIBA) \*

LAS GEODÉSICAS EN UN SUPERFICIE DE REVOLUCIÓN GENERAL SON 'INTÉGRALES' POR QUE SIGNIFICAMOS EXISTE DOS CONSTANTES DE MOVIMIENTO QUE LOS PERMITE ESCRIBIR LA SOLUCIÓN EXPLÍCITAMENTE EN TÉRMINOS DE TALES LIMITANTES Y FUNCIONES PADRES. DE HECHO, LAS EDS PARA LAS GEODÉSICAS SON:

$$\ddot{x} = x(\alpha) x'(\alpha) \dot{\theta}^2 \quad x^2 \dot{\theta} = C = \text{constante.}$$

LA CONSTANTE DE MOVIMIENTO  $C$  (en adición a la 'ENERGÍA' o VELOCIDAD  $\dot{x}^2 + x'^2 \dot{\theta}^2$ ) SE LLAMA EL integral de CLAIRAUT.

EXPLÍCITAMENTE, LAS GEODÉSICAS CON VELOCIDAD 1, Y  $C$  FIJAS

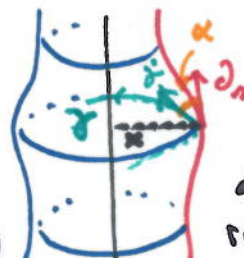
SON DADAS POR:

$$(x, \theta(\alpha)) \quad \text{DONDE } \theta(\alpha) = \int \frac{C da}{x(\alpha) \sqrt{x(\alpha)^2 - C^2}} \quad (\text{CUANDO } \dot{x} \neq 0)$$

PARA UNA INTERPRETACIÓN MÁS GEOMÉTRICA, TENEMOS:  $C = x \sin \alpha$

DONDE  $\alpha$  ES EL ÁNGULO ENTRE  $\dot{x}$  Y

LA LATITUD (DIRECCIÓN TANGENTE A LAS VERTICES)

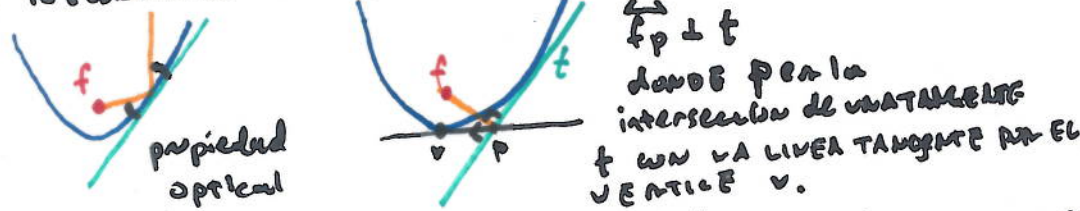


RESULTA QUE LO MÁS LEJAN DE  $x(\alpha)$  DEL EJE, LO MÁS VERTICAL ES LA DIRECCIÓN. Además, si esta restringido al rectángulo con  $x \geq C$ .

- INTERÉS POR LAS SUPERFICIES MÍNIMAS VIENE DE SU USO PARA MODERAR ESTADOS DE EQUILIBRIO PARA HOJAS ELÁSTICAS - p.ej. <sup>funda de</sup> BURRAS - EN LA ausencia DE PRESIONES EXTERNAS. EN LA PRESENCIA DE UNA PRESIÓN EXTERNA CONSTANTE, TALES FORMAS DE EQUILIBRIO SON SUPERFICIES CON CULVATURA MEDIO CONSTANTE. OTRA APLICACIÓN ES EN LA TEORÍA DE FLUIDOS, DONDE CIERTAS "SUP. MIN." MODELAN HORIZONTES DE EVENTOS DE HUEVOS NEGROS. EN ESTE SITUACIÓN LES LLAMAN 'MOTS' = 'marginally outer trapped surface'.

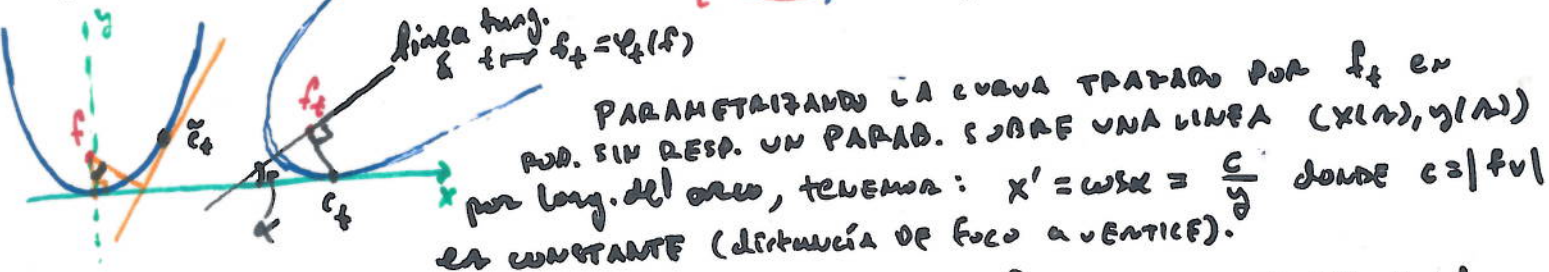
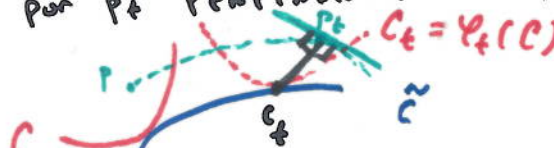
- LAS SUPERFICIES DE REVOLUCIÓN CON CULVATURA MEDIO CONSTANTE, TIENEN UNA CONVERGENCIA RONDA (VER J. ELLIS - THE SURFACES OF DELAUNAY). TALES SUPERFICIES DE DELAUNAY SON FORMADAS PARA RODANDO LA CURVA TRAZADA POR UN FOCO DE UNA CÓNICA CUANDO LA CÓNICA RODEA SIN RESBALAR A LO LARGO UNA LÍNEA.

0) REFLORDEMOS LOS SIGUIENTES PROPIEDADES DE LA PARABOLA:



$f_p \perp t$   
donde  $p$  es la intersección de una tangente  
 $t$  con la linea tangente en el vértice  $v$ .

(\*) EN RODANDO SIN RESBALAR, LA CURVA TRAZADA POR UN PUNTO GENERAL,  $p_t = \psi_t(p)$ , TIENE LÍNEA TANGENTE POR  $p_t$  PERPENDICULAR A  $p_t - c_t$ , DONDE  $c_t$  ES EL PUNTO DE CONTACTO:



PARAMETRIZANDO LA CURVA TRAZADA POR  $f_t$  EN ROD. SIN RESP. UN PARAB. SOBRE UNA LÍNEA  $(x(\lambda), y(\lambda))$  POR LONG. DEL ARCO, TENEMOS:  $x' = w\lambda x = \frac{c}{y}$  DONDE  $c = |f_t|$  ES CONSTANTE (DISTANCIA DE FOCO AL VÉRTICE).

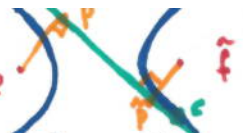
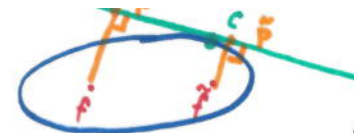
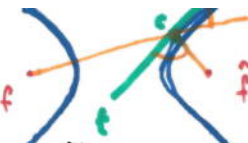
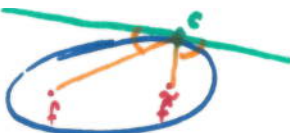
ENTONCES, CON  $(x')^2 + (y')^2 = 1$ , TENEMOS  $(y')^2 = 1 - \frac{x^2}{y^2}$ , QUE CONDUCE A LA CURVA CATENARY, Y QUE DEDUCEMOS A LA CATENARY (CON  $1 = w = c\pi$ ).

1) SIMILARMENTE, ENTRAZANDO UN FOCO DURANTE RODANDO SIN RESP. UNA ELÍPSE O HIPERBOLA, ENCONTRAMOS SU PARAB. DULCA. DE ARCO  $(x(\lambda), y(\lambda))$  SATISFACE

$$y^2 - 2ayx' + b^2 = 0 \quad (\text{Elipse con eje mayor } 2a, \text{ eje menor } 2b),$$

$$y^2 - 2ayx' - b^2 = 0 \quad (\text{Hiperbola con eje mayor } 2a, \text{ eje menor } 2b).$$

QUE SE PUEDE VERIFICAR USANDO LA PROPIEDAD (\*) DE RODANDO SIN RESB. Y LOS SIGUIENTES "RECUERDOS" SOBRE CÓNICAS:



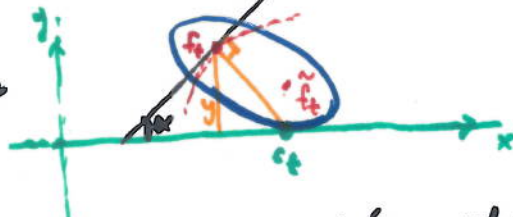
PROP. ÓPTICA:  $\chi(b, c, f) = \chi(t, e, \tilde{f})$

PARA UNA ELÍPSE  $|cf| + |e\tilde{f}| = 2a = \text{est.}$

AHORA, DURANTE LA ROTACIÓN, tenemos

$$x' = ws\alpha = \frac{y}{|\tilde{f}_t c_t|}, \text{ donde}$$

$c_t$  es el punto de contacto. Por la PROP. ÓPTICA, también  $x' = \frac{\tilde{y}}{|\tilde{f}_t c_t|}$ , que conduce a  $y + \tilde{y} = 2ax'$ ,  $y\tilde{y} = b^2$  que implica (\*).



LA CURVA TRATADA POR  $f$  EN ROTAR UNA ELÍPSE se llama una CURVA UNDULADA, POR ROTAR UNA HIPERBÓLICA, UNA CURVA NUDADA (NUDARY). EN REDONDAZOS ALREDEDOR DE LAS LÍNEAS SOBRE QUE SEA ROTADA, SE FORMA UNA SUPERFICIE DE REVOLUCIÓN: LA UNDULADA Y NUDADA CON CURV. MÉDIA CONSTANTE:

$$2H_{\text{UND}} = -K_{\text{UND}} + \frac{x'}{y} = \frac{1}{a}, \quad 2H_{\text{NUD}} = K_{\text{NUD}} + \frac{x'}{y} = \frac{1}{a}$$

\* para calcular la curvatura, se puede usar  $x'' = -Ky' +$

4) UNA SISTEMA DE COORDENADAS ORTOGONAL, SIGNIFICA

$\Psi: \mathbb{R}^3 \leftrightarrow \mathbb{E}^3$  t.g.  $\partial_{u_i}\Psi \cdot \partial_{u_k}\Psi = \delta_{ik}$ . Equivalentemente, las superficies  $\Sigma_{u_j} = \{u_j = \text{const.}\}$  son ortogonales.



por ejemplo LAS COORDENADAS CARTESIANAS, CILINDRÍCAS, ESTÁNDAR.

TEOREMA (DUPLIN): Las superficies  $\Sigma_{u_j}$ , en un sistema ortogonal INTERSECTAN A LO LARGO SUS LÍNEAS DE CURVATURA.

= ESCRIBIR  $\Psi_j = \partial_{u_j}\Psi$  PARA LAS DERIVADAS PARCIALES.

• UN NORMAL UNITARIO A LO LARGO  $\Sigma_{u_1}$  es  $\nu = \frac{\Psi_1}{|\Psi_1|}$ .

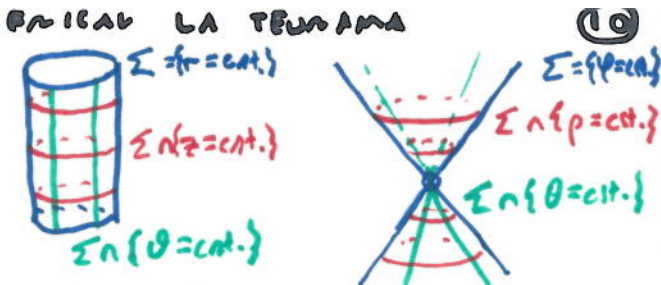
• LAS SUPERFICIES  $\Sigma_{u_1}$  y  $\Sigma_{u_2}$  INTERSECTAN EN LA DIRECCIÓN  $\Psi_3$

• EL OPERADOR DE FORMAS EN LA  $\Psi_3 \mapsto -d\nu(\Psi_3) = \frac{\Psi_{13}}{|\Psi_1|}$

•  $\Psi_3$  es UN DIR. PRINCIPAL SOBRE  $\Sigma_{u_2}$ , ya que su imagen  $-d\nu(\Psi_3)$  es perpendicular a  $\Psi_1$ , y a  $\Psi_2$  en decir proporcional a  $\Psi_3$ . □

= (diff. de  $\Psi_i \cdot \Psi_j = \delta_{ij}$ ; conduce a  $\Psi_{13} \cdot \Psi_2 = -\Psi_1 \cdot \Psi_{23} = \Psi_{12} \cdot \Psi_3 = -\Psi_1 \cdot \Psi_3 \Rightarrow \Psi_{13} \cdot \Psi_2 = 0$ )

Por ejemplo, en las superficies cilíndricas / esféricas la curvatura de Dupin determina las líneas de curvatura para cilindros y conos.



Otro ejemplo de una sistema ortogonal de curvatura son las coordenadas elipsoidal.

Para  $a > b > c > 0$ , sea  $\Sigma_\lambda := \left\{ \frac{x^2}{c-\lambda} + \frac{y^2}{b-\lambda} + \frac{z^2}{a-\lambda} = 1 \right\}$  una familia de superficies cuadráticas de tres tipos:

UN MIEMBRO DE CADA TIPO TIENEN INTERSECCIÓN COMÚN EN UN PUNTO ÚNICO EN UNA OCTANTE.  $\lambda < c$  son ellipsoides.

$c < \lambda < b$  son hiperboloideas de un hilo.  $b < \lambda < a$  son hiperboloideas de dos hilos.

Las coordenadas  $(u, v, w) \in (-\infty, c) \times (c, b) \times (b, a)$  forman una sistema ortogonal. Explicitamente,  $\varphi(u, v, w) = (x, y, z)$

$$\text{en la sección común a: } \left. \begin{aligned} \frac{x^2}{c-u} + \frac{y^2}{b-u} + \frac{z^2}{a-u} &= 1 \\ -\frac{x^2}{v-c} + \frac{y^2}{b-v} + \frac{z^2}{a-v} &= 1 \\ -\frac{x^2}{w-c} - \frac{y^2}{w-b} + \frac{z^2}{a-w} &= 1 \end{aligned} \right\}$$

que es:  $\left\{ \begin{array}{l} x^2 = (c-u)(c-v)(c-w) / (c-b)(c-a) \\ y^2 = (b-u)(b-v)(b-w) / (b-a)(b-c) \\ z^2 = (a-u)(a-v)(a-w) / (a-b)(a-c) \end{array} \right. \quad y \text{ tiene solución única en cada octante.}$

Ahora uno puede calcular directamente que  $\varphi$  es ortogonal:

$$\varphi_u = \frac{1}{2} \left( \frac{x}{u-c}, \frac{y}{u-b}, \frac{z}{u-a} \right) \quad |\varphi_u|^2 = \frac{1}{4} \frac{(v-u)(w-u)}{(a-u)(b-u)(c-u)}$$

$$\varphi_v = \frac{1}{2} \left( \frac{x}{v-c}, \frac{y}{v-b}, \frac{z}{v-a} \right) \quad |\varphi_v|^2 = \frac{1}{4} \frac{(u-v)(w-v)}{(a-v)(b-v)(c-v)}$$

$$\varphi_w = \frac{1}{2} \left( \frac{x}{w-c}, \frac{y}{w-b}, \frac{z}{w-a} \right) \quad |\varphi_w|^2 = \frac{1}{4} \frac{(u-w)(v-w)}{(a-w)(b-w)(c-w)}$$

y los otros productos integrales cero.

En particular, por Dupin tenemos las líneas de curvatura en tales superficies cuadráticas por tomando sus intersecciones:



\* TALES COORDENADAS TAMBIÉN CONDUCEN A LA INTEGRALIDAD de las geodésicas EN SUPERFICIES CUADRÁTICAS.

De hecho, el PRIMER FORMA FUNDAMENTAL EN ESTAS COORDENADAS ESTÁ EN LA FORMA GENERAL:

$$ds^2 = (A(x) - B(y)) (A_1(x)^2 dx^2 + B_1(y)^2 dy^2) \quad [LLAMADA UNA ELEMENTO DE LA FORMA LIUVILLE.]$$

[p.ej. Si tiene  $x=w, y=v$  y  $A(w) = \frac{w}{4}, B(v) = \frac{v}{4}$ ,

$$A_1(w)^2 = \frac{w-u}{(a-w)(w-b)(w-c)} \quad B_1(v)^2 = \frac{v-u}{(a-v)(b-v)(v-c)}]$$

y ADMETEN LA ADICIONAL UNITANTE DE MOVIMIENTO:

$$A(x(t)) \omega^2 \theta(t) + B(y(t)) \sin^2 \theta(t)$$

donde  $\theta(t)$  es el ángulo ENTRE LA VELOCIDAD DE LA geodésica y LAS LINEAS  $y = c \text{ const.}$

## 5) OTRAS SISTEMAS DE COORDENADAS IMPORTANTES SON:

\* COORDENADAS DE FERMI: sea  $t \mapsto c(t) \in \Sigma$  UNA CURVA REGULAR PARAM.

PARA CADA  $t$ , sea  $\gamma_t(\lambda)$  UNA geodésica

CON VELOCIDAD 1 y CONDICIÓN INICIAL

$\gamma_t(0) = c(t)$ ,  $\gamma'_t(0) \perp \dot{c}(t)$ . ENTonces

$(t, \lambda) \mapsto \gamma_t(\lambda)$  FORMAN UNA SISTEMA LOCAL DE COORDENADAS ALFABÉTICAS  $c(u)$ .

EN TAL SISTEMA:  $g = ds^2 + A(u, t)^2 dt^2$

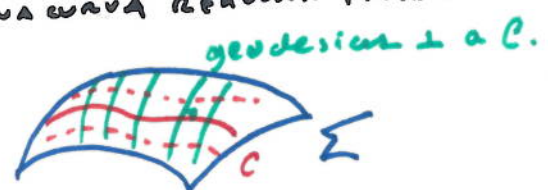
ADÉMÁS, TENEMOS  $T_{\alpha\alpha}^i = 0$  EN TAL SISTEMA.

TALES RESULTADOS SIGUE EN CONSIDERANDO QUE LAS CURVAS  $t = \text{est.}$  son geodésicas y escribiendo LAS ECUACIONES PARA geodésicas en coordenadas:

$$\text{ej: } 0 = u'' + T_{tt}^{\alpha} t't' + 2T_{t\alpha}^{\alpha} t'\alpha' + T_{\alpha\alpha}^{\alpha} (\alpha')^2 = T_{\alpha\alpha}^{\alpha}.$$

CUANDO  $c$  ES UN M.A.MO LA UNA geodésica, tenemos EN ADICIÓN que:  $A(0, t) = 1$ ,  $\partial_t A(0, t) = D$ ,  $T_{ij}^k(0, t) = 0$ , y

$$K(u, t) = - \frac{\partial_u^2 A}{A} \quad \text{para la curvatura Gaussiana.}$$

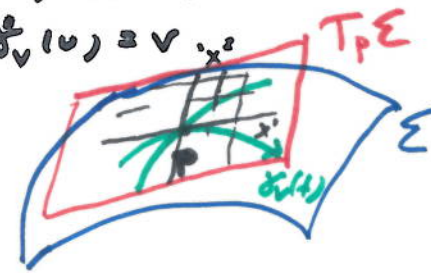


\* PARA COORDENADAS NORMALES ALREDEDOR DE  $\Sigma$ ,  
tomamos un sistema de coordenadas ortonormales para  $T_p\Sigma$ ,  $e_1, e_2$  y  
enviamos  $x^1e_1 + x^2e_2 = (x^1, x^2) \in T_p\Sigma$  a  $\gamma_v(t)$  DÓNDE  
 $\gamma_v(t)$  es la geodésica con  $\gamma_v(0) = p$ ,  $\dot{\gamma}_v(0) = v$ .

EN TAL SISTEMA DE COORDENADAS, TENEMOS:

$$g_{ij}(0,0) = g_{ij}, \quad g_{ik}(0,0) = 0 \quad (\text{ENTONCES } T_{ij}^k(0,0) = 0)$$

que es útil en computaciones.



SIMILARMENTE, COORDENADAS GEODESICAS POLARES SON  
 $(r, \theta) \mapsto (r\cos\theta, r\sin\theta) = (x^1, x^2) \in T_p\Sigma$ , CON  $(x^1, x^2)$  COORDENADAS NORMALES.  
LAS CURVAS  $r = \text{const.}$  SON CÍRCULOS GEODESICOS ( $q \in \Sigma : \text{dist}_{\Sigma}(q, p) = r$ ),  
Y LAS COORDENADAS SON COORDENADAS DE FERMI BASADAS EN UN CÍRCULO  
GEODESICO. EN PARTICULAR  $g = dr^2 + A(r, \theta)^2 d\theta^2$ .

+ EN TAL COORDENADAS SIGUEN LAS SIGUIENTES INTERPRETACIONES  
de  $K(p)$  EN TERMINOS DE LA GEOMETRÍA INTRÍNSICA:

$$+ K(p) = \lim_{r \rightarrow 0} \frac{2\pi r - l(C_r)}{r^3} \cdot \frac{3}{\pi} = \lim_{r \rightarrow 0} \frac{\pi r^2 - A(D_r)}{r^4} \cdot \frac{12}{\pi}$$

DONDE  $l(C_r)$  ES LA LONGITUD DE UN CÍRCULO GEODESICO DE RADIO  
 $r$  ALREDEDOR DE  $p$ , Y  $A(D_r)$  ES LA ÁREA ACOTADA POR  $C_r$ .

+ EXPANSIÓN ENTRE GEODÉSICAS: SEA  $\gamma_1(t), \gamma_2(t)$  GEODÉSICAS DE  
vel. 1, CON  $\gamma_i(0) = p$  Y  $\alpha = \gamma(\dot{\gamma}_1(0), \dot{\gamma}_2(0))$ , ENTONCES

$$\text{dist}_{\Sigma}^2(\gamma_1(t), \gamma_2(t)) = 2t^2(1 - \cos\alpha) = \frac{2}{3}t^4 \sin^2\alpha K(p) + o(t^4)$$

$$\begin{aligned} & \text{dist}_{\Sigma}^2(\gamma_1(t), \gamma_2(t)) = t\sqrt{2(1 - \cos\alpha)} \\ & K=0 \end{aligned}$$

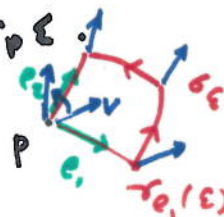
+ HOLONOMÍA DE TRANSPORTE PARALELO:

SEA  $\gamma$  UNA CURVA CERRADA CON  $\gamma(0) = p$  Y  $v \in T_p\Sigma$ :

EN TRANSPORTANDO  $v$  PARALELAMENTE ALREDEDOR  
DE  $\gamma$ ,  $v$  REGRESA POSICIONALMENTE ROTADO POR UN  
ÁNGULO  $\theta(\gamma)$ . DEJA  $A(\gamma)$  EL ÁREA ENCERRADA  
POR  $\gamma$ , ENTONCES

$$K(p) = \lim_{\epsilon \rightarrow 0} \frac{\theta(\gamma_{\epsilon})}{A(\gamma_{\epsilon})}$$

DONDE  $\gamma_{\epsilon}$  TIENE DOS LADOS  
PARAMETRIZADOS POR GEODÉSICAS  
ORTONORMALES.



\* SE PUEDE USAR UNA TRIANGULACIÓN DE  $\Sigma$  Y LA CARACTÉRISTICA  
DE K PARA HOMOLOGÍA PARA MOSTRAR LA TEOREMA DE GAUSS-BONNET:

$$\int_{\Sigma} K dA = 2\pi \chi(\Sigma) \quad (\text{CUANDO } \Sigma \text{ NO TIENE FRONTERA})$$

DONDE  $\chi(\Sigma)$  ES EL CARÁCTER DE EULER DE  $\Sigma$  (EN PARTICULAR  
NO DEPENDE DE LA TOPOLOGÍA DE  $\Sigma$ ) DADA POR  $\chi(\Sigma) = v - e + f$   
DONDE  $v$  ES EL NÚMERO DE VERTICES,  $e$  EL NÚMERO DE BORDES Y  
 $f$  EL NÚMERO DE CARAS EN ALGUNA TRIANGULACIÓN DE  $\Sigma$ .

### REFERENCIAS:

- DO CARMO - CURVES AND SURFACES
- KLINGENBERG - A COURSE IN DIFFERENTIAL GEOMETRY
- CHEAN, CESARI (editors) - GLOBAL DIFFERENTIAL GEOMETRY (W.H. B. M.A.A.)
- A. CHENCINER - NOTES (2005) "Géométrie différentielle" ONLINE @  
[perso.imecc.ulg.ac.be/~alain-chenciner/polyg.html](http://perso.imecc.ulg.ac.be/~alain-chenciner/polyg.html)